

طراحی بهینه جانمایی برای اجزای یک سامانه کنترلی فضایی با استفاده از روش بهینه‌سازی گرادیانی

مازیار شفائی^{۱*}, پرویز محمدزاده^۲, عباس الکائی بھجتی^۳, سعید عباسی^۳

۱- استادیار، مهندسی مکانیک، دانشگاه تهران، تهران

۲- استادیار، مهندسی بهینه‌سازی، دانشگاه تهران، تهران

۳- دانشجوی کارشناسی ارشد، مهندسی هوافضا، دانشگاه تهران، تهران

mshafaei@ut.ac.ir, 143951374*

چکیده

در این مقاله مدل‌سازی جانمایی اجزا و بهینه‌سازی آن بررسی می‌شود. یک سامانه کنترلی فضایی به عنوان نمونه مطالعاتی انتخاب شده است. اکثر کارهای تحقیقاتی انجام شده در این حوزه، المان‌های طراحی را به صورت اجزای ثابت در طول زمان در نظر گرفته‌اند. در این مقاله رویکرد جدیدی بر مبنای جرم متغیر اجزا مطرح شده است که در آن تابع هدف کمینه کردن دامنه تغییرات مرکز جرم در مدت کارکرد سامانه می‌باشد. برای انجام جانمایی از دو روش تعامل انسان و کامپیوتر و روش مبتنی بر بهینه‌سازی استفاده شده است. در فاز مدل‌سازی، مشخصات تمامی اجزای سامانه به دست آمده‌اند. سپس چیدمان‌ها و جانمایی‌های متقاوتی برای اجزا در نظر گرفته شده است. برای هر مدل تغییرات مرکز جرم در فضای سه‌بعدی به دست آمده است، سپس مناسب‌ترین جانمایی از لحاظ دامنه تغییرات مرکز جرم طراحی شده است. در گام بعدی، مدل ریاضی سامانه مورد مطالعه به دست آمده است، مدل ریاضی دربردارنده تابع هدف، قیود، متغیرها و پارامترها می‌باشد. این مدل ریاضی اصلی ترین نقش را در انتخاب روش بهینه‌سازی ایفا می‌کند. بر مبنای مدل ریاضی و فضای طراحی، روش بهینه‌سازی مبتنی بر محاسبه گرادیان تابع هدف استفاده شده است. با پیاده‌سازی این الگوریتم، جانمایی بهینه ارائه شده و نتایج روش بهینه‌سازی و روش تعامل انسان و کامپیوتر با یکدیگر مقایسه شده‌اند. مقایسه نتایج بین‌گیر این واقعیت است که تکنیک بهینه‌سازی به طور قابل ملاحظه‌ای می‌تواند نتایج مسئله جانمایی را بهبود بخشد. در پایان نیز روش مورد استفاده و نتایج به دست آمده در این مقاله با نتایج ارائه شده در مقالات مشابه مورد تحلیل و بررسی قرار گرفته و اعتبار سنجی شده‌اند. مقایسه نتایج نشان‌دهنده کارایی بالاتر و دقت بیشتر روش پیشنهادی در این مقاله در حل مسئله جانمایی می‌باشد.

اطلاعات مقاله

مقاله پژوهشی کامل

دریافت: ۰۵ شهریور ۱۳۹۳

پذیرش: ۲۳ شهریور ۱۳۹۳

ارائه در سایت: ۱۷ آبان ۱۳۹۳

کلید واژگان:

سامانه کنترلی فضایی

مرکز جرم

بهینه‌سازی

روش‌های گرادیانی

الگوریتم برنامه‌ریزی مرتبه دوم متوالی

Optimal layout design for a space control system modules using a gradient-based method

Maziar Shafaei^{1*}, Parviz Mohammadzadeh¹, Abbas Elkaie Behjat¹, Saeid Abbasi¹

1- Department of Mechanical Engineering, University of Tehran, Tehran, Iran.

* P.O.B. 143951374, Tehran, Iran, mshafaei@ut.ac.ir

ARTICLE INFORMATION

Original Research Paper

Received 27 August 2014

Accepted 14 September 2014

Available Online 08 November 2014

Keywords:

Space control system

Mass center

Optimization

Gradient methods

SQP Algorithm

ABSTRACT

This paper focuses on layout modeling and optimization for a space control system. Majority of recent research works consider design components as constant elements over time. A new approach based on variable mass components is proposed in this paper for which the objective function is to minimize mass center variation (MCV) range over time. The proposed approach consists of Human-computer interaction (HCI) and Optimization methods to perform the layout. In the modeling phase, using defined inputs, all system components are determined. Then different configurations and layouts for subsystems are modeled and MCV over time in three dimensional space is calculated for each model. Following this, according to permissible range for mass center changes, the most appropriate layout in terms of MCV amplitude is achieved. In the next step, mathematical model of achieved layout is defined. Mathematical model includes objective function, constraints, variables and parameters, play an important role in choosing appropriate optimization method. Based on mathematical model and design space, a gradient optimization method is selected. By applying this algorithm, optimum layout is proposed. Results of optimization and HCI design are compared. Comparison of the results shows that the optimization technique can significantly improve the results of the layout problem. At last, the results have analyzed and validated with similar research works. The results comparison show more efficiency and accuracy for the proposed method.

کنترل وضعیت و موقعیت در ماهواره‌ها، سامانه‌های حامل و سفینه‌های

فضایی می‌پردازد. این سامانه از اغتشاشات رول، یاو و پیچ با ایجاد گشتاور

۱- مقدمه

یک سامانه کنترلی فضایی با استفاده از تراسترهای (موتورهای کمپیشران) به

Please cite this article using:

M. Shafaei, P. Mohammadzadeh, A. Elkaie Behjat, S. Abbasi, Optimal layout design for a space control system modules using a gradient-based method, *Modares Mechanical Engineering*, Vol. 14, No. 16, pp. 272-282, 2015 (In Persian)

برای ارجاع به این مقاله از عبارت ذیل استفاده نمایید:

www.modares.ac.ir

همکاران [12]، با استفاده از روش‌های گرادیانی به کمینه کردن چگالی جانمایی پرداخته‌اند. آن‌ها با اینکار به مقایسه نتایج حاصل از روش‌های تجربی و بهینه‌سازی پرداخته‌اند که سرعت همگرایی و دقت الگوریتم بهینه‌سازی بسیار قابل توجه بوده است [14].

در تمامی این پژوهش‌ها، اجزا به عنوان المان‌های ثابت در نظر گرفته شده‌اند، اما در کاربردهای فضایی، جرم برخی از المان‌ها در طول زمان در حال تغییر است. در این حالت، مسئله جانمایی تبدیل به یک مسئله پیچیده طراحی خواهد شد و فضای طراحی مبدل به یک فضای چند بعدی با پارامترهای متغیر خواهد شد که نیاز به استفاده از روش‌های بهینه‌سازی را کاملاً محسوس کرده است.

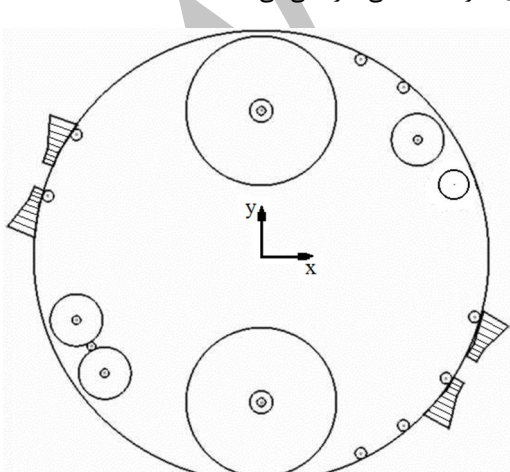
2- شرح مسئله

در این مقاله با در نظر گرفتن تغییرات مرکز جرم، جانمایی اجزا انجام شده است و با استفاده از روش برنامه‌ریزی متوالی درجه دوم⁴، جانمایی بهینه ارائه شده است. این روش برای اولین بار توسط ویلسون [15] ارائه شد. روش برنامه‌ریزی متوالی درجه دوم یکی از مناسب‌ترین روش‌ها در حل مسائل مهندسی مقید می‌باشد.

برای کاهش پیچیدگی‌های مسئله، تمام المان‌ها می‌توانند به صورت دایره‌ای (مسئله جانمایی دایره وزن دار)⁵ یا به صورت مستطیلی (مسئله جانمایی مستطیل وزن دار)⁶ تعریف شوند [13]. روش‌های جستجوی ابتکاری نتایج خوبی را در مسئله دایره وزن دار از خود نشان می‌دهند اما زمانی که در مسئله مستطیل وزن دار و یا مسائل پیچیده‌تر در فضای سه‌بعدی از این روش‌ها استفاده می‌شود، عملکرد آن‌ها به طور چشمگیری کاهش می‌یابد [5,6]. این امر ناشی از این حقیقت می‌باشد که در مسئله مستطیل وزن دار، جانمایی مناسب نه تنها به محل قرارگیری هر جزء وابسته است، بلکه به موقعیت زاویه‌ای آن‌ها نیز مربوط است. در مسئله پیش رو با توجه به نوع اجزای موجود در سامانه، می‌توان تمامی آن‌ها را به صورت دایره‌ای فرض کرد. علاوه بر نوع و شکل المان‌های موجود، قیدهای فضای طراحی نیز از اهمیت بالایی برخوردار هستند. این قیدها عبارت‌اند از:

- (1) فضای داخلی در دسترس سیستم
- (2) عدم تداخل بین المان‌ها

قیدهای ذکر شده همگی غیرخطی می‌باشند.



شکل ۱ نمای دو بعدی از اجزای جانمایی در یک سامانه کنترلی فضایی

4- Sequential Quadratic Programming(SQP)

5- Weighted-Circle Layout Problem(WCL)

6- Weighted-Rectangle Layout Problem(WRL)

جلوگیری می‌کند. این اختشاشات ناشی از فاکتورهای داخلی و محیطی می‌باشند و سامانه را از وضعیت مطلوب آن خارج می‌کنند. برای کنترل یک سامانه فضایی، وضعیت و موقعیت آن باید به صورت پیوسته به الگوریتم‌های کنترلی ارسال شود. این اطلاعات به محرک‌ها برای کنترل میزان نیروهای پیش‌رانشی و گشتاورها ارسال می‌شود. یکی از پارامترهای اصلی تأثیرگذار در تغییر وضعیت سامانه، تغییرات مرکز جرم می‌باشد که در نتیجه مصرف پیشرانه‌ها به وجود می‌آید. با انتخاب چیدمان مناسب و انجام جانمایی بهینه برای اجزای سامانه، می‌توان میزان این تغییرات را کمینه کرد یا به سمت مدنظر سوق داد.

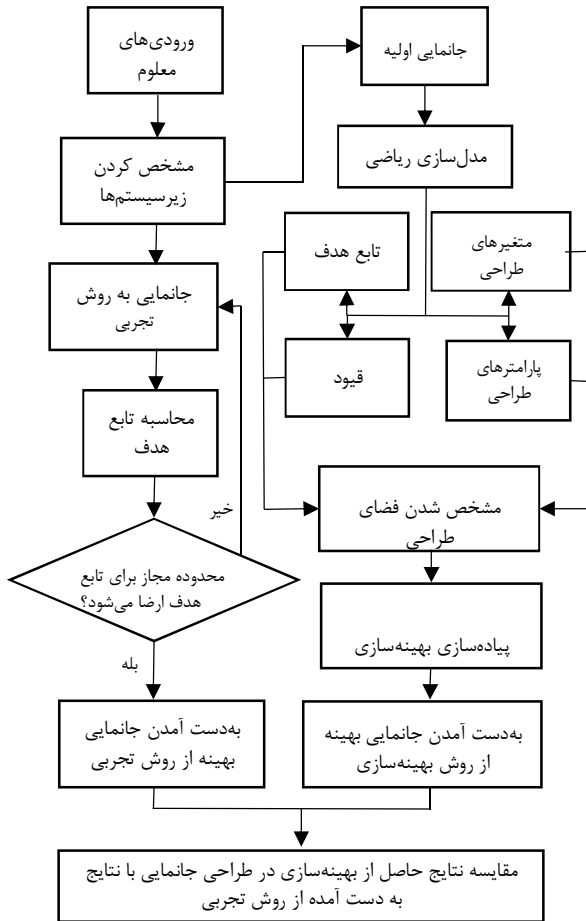
امروزه طراحی جانمایی به عنوان یک مسئله فراگیر در حوزه‌های مختلف علوم مهندسی مطرح می‌باشد. برای نمونه می‌توان به مسئله جانمایی در مزرعه‌های بادی و یا کارخانه‌های صنعتی اشاره کرد. در مزرعه‌های بادی، جانمایی بهینه توربین‌های بادی در فضای مزرعه به منظور کمینه کردن اثر ویک¹ و افزایش تولید توان، مطرح می‌باشد [1]. کارخانه‌ها نیز با هدف کاهش هزینه و زمان تولید و مونتاژ قطعات با مسئله جانمایی درگیر می‌باشند [2]. در حوزه‌های مهندسی مکانیک و هوافضا نیز مسئله جانمایی در بخش‌های مختلف مورد توجه می‌باشد. به عنوان مثال صفحات فلزی به کار رفته در قطعات هوافضایی و صنایع اتومبیل‌سازی بسیار پرکاربرد می‌باشند. قابلیت تغییر شکل‌پذیری این صفحات سبب خطاها ابعادی جدی در کاربردهای عملی خواهد شد. انتخاب محل بهینه قیود هندسی و فیزیک‌چرها در راستای ایجاد حمایت لازم و جلوگیری از تغییر شکل‌های ناخواسته بسیار مؤثر خواهد بود [3]. در مسئله بهینه‌سازی جانمایی²، بازده طراحی بر مبنای جانمایی المان‌ها مطرح می‌باشد (در فضای دو بعدی و سه‌بعدی). مسئله بهینه‌سازی جانمایی برای اولین بار به منظور کاهش هزینه و همچنین بهبود عملکرد در سامانه‌های حامل و ماهواره‌ها توسط تنگ و همکاران [4] مطرح شد. زیرا طراحی و جانمایی از تکنیک‌های کلیدی در بهبود عملکرد سامانه می‌باشد. در واقع جانمایی اجزای سامانه موقعیت مرکز جرم و میزان تغییرات آن را مشخص می‌کند. به همین منظور در این مقاله به بحث نحوه انجام مناسب‌ترین جانمایی می‌پردازیم، به طوری که موقعیت مرکز جرم در ابتدای کارکرد سامانه و همچنین موقعیت لحظه‌ای مرکز جرم در طول انجام مأموریت تا حد ممکن بر مرکز تعادل سامانه نزدیک‌تر باشد. برای کمینه کردن تغییرات موقعیت مرکز جرم، روش‌های سنتی مانند تعامل انسان و کامپیوتر³ (روش تجربی) و همچنین روش‌های نوینی مانند الگوریتم‌های بهینه‌سازی موجود می‌باشند.

طرح جانمایی کلی برای یک سامانه توسط کیگن و همکارانش مطرح شده است که در آن مباحثی همچون کمینه کردن فاصله مرکز ثقل نسبت به مبدأ مختصات مرجع، هزینه چیدمان، چگالی جانمایی، هزینه مسیریابی و بهبود عملکرد مطرح می‌باشد [5]. یکی از بارزترین زمینه‌های موجود در طراحی جانمایی، محاسبه مرکز ثقل می‌باشد. تمرکز در این بحث پیش‌تر بر طراحی جانمایی در ماهواره‌ها بوده است. اکثر مقاله‌های منتشر شده در این حوزه، با نگاه افزایش بالا انس و پایداری [10-4-10-4-11,12]، کاهش شعاع فضای جانمایی و کاهش ناپایداری با کمک روش‌های چند موضوعی [8,9,13]، به مسئله جانمایی پرداخته‌اند. در مقاله‌های اخیر، روش‌هایی جستجوی ابتکاری برای بهینه کردن تابع هدف مورد استفاده قرار گرفته‌اند. در مقابل الگوریتم‌های ابتکاری، وانگ و

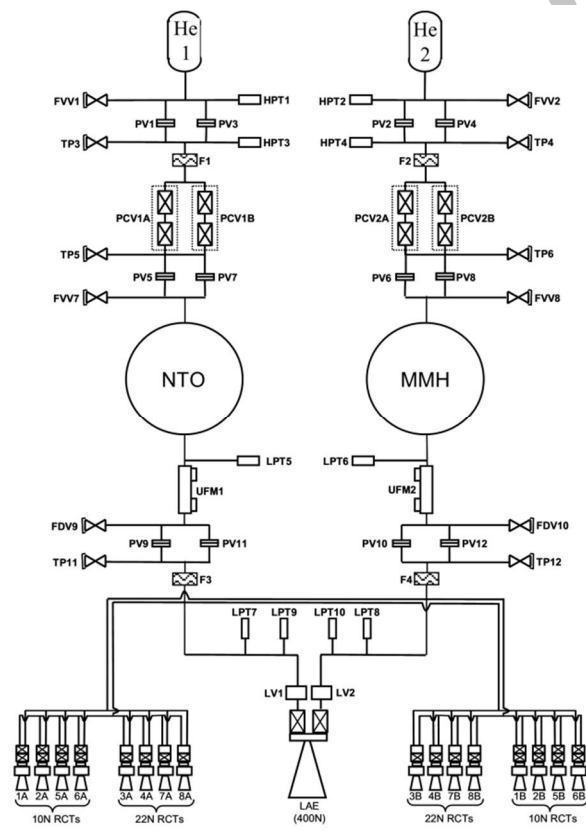
1- Wake

2- Layout Optimization Problem(LOP)

3- Human and Computer Interaction



شکل 2 فرآیند جانمایی با روش های تجربی و پیشنهادی



شکل 3 یک نمونه مدار پنوموهدروولیکی برای سامانه پیشنهادی دو مؤلفه ای [17]

شکل 1 نمایانگر یک نمای دو بعدی از اجزای جانمایی می باشد. در این شکل بزرگ ترین دایره نمایانگر مرزهای فضای طراحی می باشد. مبدأ مختصات مرجع منطبق بر مرکز هندسی می باشد. دو دایره بزرگ بعدی، مخازن نگهداری تأمین کننده فشار در مدار تغذیه می باشند. در نهایت کوچکتر نشان دهنده مخازن نگهداری ماده رگلاتور بوده که سنگین ترین جز پس از مخازن و سیال موجود در آن ها می باشد. علاوه بر این اجزایی که خارج از فضای طراحی قرار گرفته اند نشان دهنده تراسترهای می باشند.

3- طراحی جانمایی

روند حل مسئله جانمایی در شکل 2 نشان داده شده است. طراحی یک مدل مناسب بر مبنای رویکردهای تجربی و روش های تئوری در مهندسی گام اصلی در حل مسئله و به دست آوردن پاسخ بهینه می باشد. به منظور تعریف پیکربندی سامانه، مشخصات اولیه سامانه مانند تعداد مخازن، حجم هر یک، نوع اتصالات و تعداد آن ها و غیره باید مشخص شوند. تمامی نیازمندی های عملکردی سیستم در مدت عمر کاری سامانه، برای به دست آوردن مشخصات اولیه سامانه باید در نظر گرفته شوند.

در این مسئله ورودی های معلوم شامل تراست و ایمپالس هر تراست، نسبت دبی جرم پیشنهادهای، زمان کارکرد موتور و ضربی اینمی برای فشار قابل تحمل در مخازن، می باشند. با مقادیر معلوم تراست و ایمپالس، دبی جرمی کل با استفاده از معادلات (1) و (2) بدست خواهد آمد [16]:

$$I_s = \frac{T}{\dot{m}_f} \quad (1)$$

$$\dot{m}_f = \dot{m}_{ox} + \dot{m}_t \quad (2)$$

دبی جرمی کل و دبی جرم پیشنهادهای می باشند. فشار و حجم مورد نیاز برای بالشتک گاز دمشی به کمک مقادیر معلوم فشار محفظه احتراق و افت فشار در مسیر مخازن تا موتور محاسبه می شوند. پس از مشخص شدن جرم و حجم مورد نیاز برای پیشنهادهای و مخازن فشارگذاری، جرم وابعاد المان های مدار پنوموهدروولیکی شامل شیرهای کنترلی، رگلاتورها، اتصالات و تراستهای باید نهایی شود [17,18].

ترتیب قرارگیری المان های مدار پنوموهدروولیکی همانند شکل 3 می باشد. همان طور که در این شکل مشخص است، مخازن پیشنهادهای بصورت کروی در نظر گرفته شده اند. اما با توجه به محدودیت های هندسی و عملکردی موجود، مخازن استوانه ای یا چنبر نیز از گزینه های پیش روی طراحان می باشند.

3-1- محاسبه مرکز جرم

زیرسیستم ها به دو بخش تقسیم بندی شده اند. بخش اول اجزایی می باشند که با گذشت زمان در حال تغییر هستند و بخش دوم اجزای ثابت می باشند. برای اجزای ثابت، مرکز جرم با استفاده از روش های تجربی یا مدل سازی های انجام شده در نرم افزارهای طراحی به دست آید. اما برای المان های متغیر با زمان، محاسبات تحلیلی برای به دست آوردن مرکز جرم مورد نیاز است. روابط مرکز جرم برای هر جز مطابق با شکل آن ها (کروی، استوانه ای و چنبر) متفاوت خواهد بود.

یک مخزن کروی در شکل 4-الف نمایش داده شده است. ارتفاع اولیه سیال در z_1 قرار داشته و حجم فوقانی آن به وسیله بالشتک گاز دمشی اشغال شده است.

$$Z_{cg} = \frac{R^2 \frac{Z^2}{2} - \frac{Z^4}{4} - \frac{R^4}{4}}{R^2 Z - \frac{Z^3}{3} + \frac{2}{3} R^3} \quad (6)$$

شکل ۵ نشانگر یک مخزن استوانه‌ای می‌باشد. برای قسمت‌های کروی فوکانی و تحتانی، محاسبات مرکز جرم همانند محاسبات انجام شده برای مخازن کروی می‌باشد. تنها تفاوت در بازه انتگرال گیری خواهد بود. برای بخش میانی استوانه‌ای شکل مخزن، المان انتگرال گیری یک دیسک با شعاع ثابت r و ضخامت dz می‌باشد. با انتگرال گیری و بسط المان مذکور در طول فضای اشغال شده به وسیله سیال، تغییرات ارتفاع نسبت به زمان به دست خواهد آمد. روند فرمول‌سازی برای یک مخزن استوانه‌ای همانند مخازن کروی است که در سه بخش انجام می‌شود:

بخش اول: فرمول‌سازی مسئله برای نیم کره فوکانی (روابط (7) تا (9))

$$\dot{V}t = \pi [R^2 Z - \frac{Z^3}{3}] + c_2 \quad (7)$$

$$Z = A_2 + B_2 t + C_2 t^2 + D_2 t^3 + E_2 t^4 + F_2 t^5 \quad (8)$$

$$Z_{cg} = \frac{R^2 \frac{Z^2}{2} - \frac{Z^4}{4} - \frac{R^4}{4}}{R^2 Z - \frac{Z^3}{3} + \frac{2}{3} R^3} + \frac{h}{2} \quad (9)$$

بخش دوم: فرمول‌سازی مسئله برای بخش میانی (روابط (10) و (11))

$$\dot{V}t = \pi R^2 Z + c_3 \quad (10)$$

$$Z_{cg} = \frac{Z - \frac{h}{2}}{2} \quad (11)$$

بخش سوم: فرمول‌سازی مسئله برای نیم کره تحتانی (روابط (12) و (13))

$$\dot{V}t = \pi [R^2 Z - \frac{Z^3}{3}] + c_4 \quad (12)$$

$$Z = A_3 + B_3 t + C_3 t^2 + D_3 t^3 + E_3 t^4 + F_3 t^5 \quad (13)$$

$$Z_{cg} = \frac{R^2 \frac{Z^2}{2} - \frac{Z^4}{4} - \frac{R^4}{4}}{R^2 Z - \frac{Z^3}{3} + \frac{2}{3} R^3} - \frac{h}{2} \quad (14)$$

برای به دست آوردن تغییرات مرکز جرم در کل مخزن استوانه‌ای از معادله (15) استفاده می‌شود:

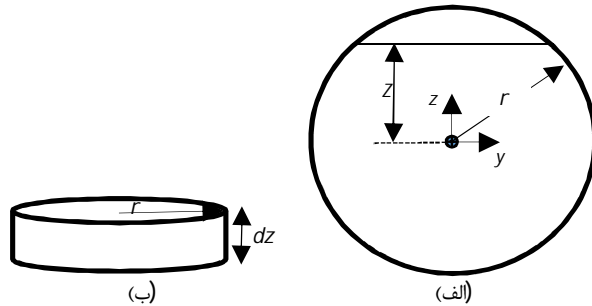
$$Z_{cg} = \frac{\sum m_i z_{cg,i}}{\sum m_i} \quad (15)$$

در معادله (15)، m_i بیانگر جرم سیال در هر قسمت و $z_{cg,i}$ مرکز جرم هر قسمت و Z_{cg} مرکز جرم مجموعه هر سه قسمت می‌باشد. در مخازن استوانه‌ای m_i و $z_{cg,i}$ بسته به زمان مصرف سیال می‌توانند ثابت یا متغیر باشند. اشاره به این نکته ضروری است که میزان سیال و ابعاد مخازن مشخص‌کننده المان انتگرال گیری می‌باشد. بنابراین شاخص انتگرال گیری (i) با گذشت زمان تغییر خواهد کرد.

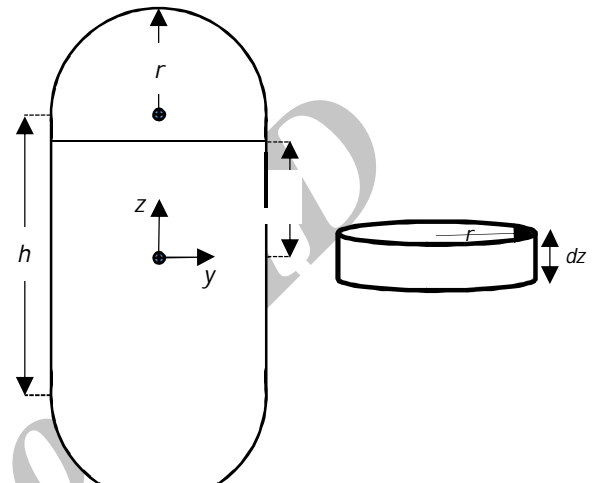
سرانجام مرکز جرم مخازن چنبر با در نظر گرفتن یک چنبر به صورت متعادل با یک استوانه به شعاع R و ارتفاع $2\pi R_m$ ، تخمین زده خواهد شد. R_m شعاع متوسط چنبر می‌باشد. با این‌فرض چنبر به صورت شکل ۶ درخواهد آمد. روند فرمول‌سازی مسئله برای مخازن چنبر مطابق روابط (16) تا (18) می‌باشد:

$$\dot{V}t = 4\pi R_m [\frac{R^2}{2} \arcsin(\frac{Z}{R}) + 0.5 Z \sqrt{R^2 - Z^2}] + c_5 \quad (16)$$

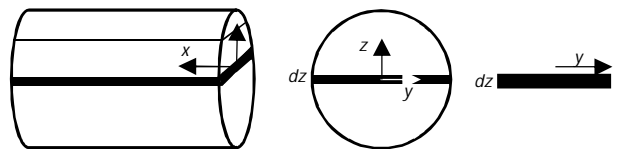
$$Z = A_4 + B_4 t + C_4 t^2 + D_4 t^3 + E_4 t^4 + F_4 t^5 \quad (17)$$



شکل ۴ یک المان دیسک برای محاسبه ارتفاع و مرکز جرم با زمان برای مخزن کروی، انتخاب شده است.



شکل ۵ یک المان دیسک برای محاسبه ارتفاع و تغییرات مرکز جرم با زمان برای مخزن استوانه‌ای، انتخاب شده است.



شکل ۶ انتخاب یک المان مستطیلی شکل برای محاسبه ارتفاع و تغییرات مرکز جرم با زمان برای مخازن چنبر.

در هر لحظه از کارکرد سامانه، یک المان مانند شکل ۴-ب انتخاب شده است. رابطه بین زمان و ارتفاع لحظه‌ای سیال را می‌توان به صورت رابطه (3) بیان کرد:

$$\dot{V}t = \pi [R^2 Z - \frac{Z^3}{3}] + c_1 \quad (3)$$

$\dot{V}t$ و t به ترتیب نرخ تخلیه، ارتفاع سیال، شعاع مخزن و زمان می‌باشند. یک مقدار ثابت است که با کمک مقادیر اولیه به دست می‌آید. برای به دست آوردن مرکز جرم به معادله‌ای نیاز است که بتواند Z را در هر لحظه به دست آورد. بنابراین معادله (4) به دست آمده است:

$$Z = A_1 + B_1 t + C_1 t^2 + D_1 t^3 + E_1 t^4 + F_1 t^5 \quad (4)$$

تا F_1 مقادیر ثابت می‌باشند.

مقدار مرکز جرم در هر لحظه از رابطه (5) و پس از جاگذاری مقدار Z به دست می‌آید (رابطه 6):

$$Z_{cg} = \frac{\int zdz}{\int dz} \quad (5)$$

الف به ترتیب برای مخازن کروی، استوانه‌ای و چنبر قابل مشاهده است. همان‌طور که انتظار می‌رفت و نتایج حاصل از شکل‌های 7-الف، 8-الف و 9-الف نشان می‌دهد، بهترین جانمایی زمانی به دست می‌آید که اجزا سامانه تا جای ممکن به صورت متقاض نسبت به یکدیگر قرار داده شوند. از سوی دیگر این مقاله با اجزایی با وزن‌های متفاوت سروکار دارد. بنابراین باید یک مصالحه بین تقارن جرمی و تقارن مکانی برقرار شود.

پس از رسیدن به بهترین جانمایی، دامنه تغییرات مرکز جرم (R_{cg}) با استفاده از روابط تحلیلی در طول زمان کارکرد، در صفحه $x-y$ به کمک معادله (20) محاسبه می‌شود:

$$R_{cg} = \sqrt{X_{cg}^2 + Y_{cg}^2} \quad (20)$$

نتایج این محاسبات در جدول 1 آورده شده است. همان‌طور که نتایج این جدول نشان می‌دهد، با استفاده از روش تجربی، در صورت استفاده از مخازن چنبر کمترین دامنه تغییرات مرکز جرم به دست خواهد آمد. مخازن کروی و استوانه‌ای به ترتیب در رتبه‌های بعدی قرار گرفته‌اند. همانند محاسبات انجام شده در صفحه $x-y$ ، مقادیر تغییرات مرکز جرم در راستای Z نیز محاسبه شده‌اند که نتایج آن در جدول 2 نشان داده شده است. بررسی این نتایج نشان می‌دهد محدوده تغییرات در جهت Z برای مخازن چنبر کوچک‌تر از مخازن کروی می‌باشد. مخازن کروی و استوانه‌ای به ترتیب در جایگاه‌های بعدی قرار دارند.

جدول 1 تغییرات مرکز جرم با زمان (R_{cg} cm) برای جانمایی به روش تجربی

نوع مخازن			
کره	استوانه	چنبر	زمان (s)
9/668	8/423	0/604	0
9/319	8/055	0/638	10
8/926	7/646	0/677	20
8/478	7/190	0/720	30
7/965	6/677	0/769	40
7/370	6/096	0/826	50
6/675	5/437	0/892	60
5/855	4/683	0/969	70
4/884	3/822	1/060	80
3/756	2/862	1/171	90
2/622	1/934	1/307	100
2/537	1/794	1/480	110

جدول 2 تغییرات مرکز جرم با زمان (Z_{cg} cm) برای جانمایی به روش تجربی

نوع مخازن			
کره	استوانه	چنبر	زمان (s)
1/998	-2/893	0/692	0
1/151	-4/201	0/240	10
0/390	-5/347	-0/174	20
-0/326	-6/295	-0/541	30
-0/942	-7/009	-0/846	40
-1/432	-7/441	-1/073	50
-1/811	-7/530	-1/189	60
-1/995	-7/193	-1/150	70
-1/891	-6/320	-0/897	80
-1/427	-4/756	-0/325	90
-0/304	-2/288	0/637	100
1/995	-1/563	1/783	110

$$Z_{cg} = \frac{-\frac{1}{3}(R^2 - Z^2)^{\frac{3}{2}}}{\frac{R^2}{2}\arcsin(\frac{Z}{R}) + \frac{Z}{2}\sqrt{R^2 - Z^2} + \pi\frac{R^2}{4}} \quad (18)$$

3-2- محاسبات مرکز جرم برای سامانه کنترلی به صورت یکپارچه پس از محاسبه مرکز جرم هر یک از اجزاء، با استفاده از معادله (19) مرکز سامانه کنترلی به دست می‌آید:

$$Y_{cg} = \frac{\sum_{i=1}^n m_i Y_{cg_i}}{\sum_{i=1}^n m_i}, \quad X_{cg} = \frac{\sum_{i=1}^n m_i X_{cg_i}}{\sum_{i=1}^n m_i}, \quad Z_{cg} = \frac{\sum_{i=1}^n m_i Z_{cg_i}}{\sum_{i=1}^n m_i} \quad (19)$$

در معادله (19)، n تعداد اجزاء، شامل تراسترهای مخازن، پیشرانه‌ها، شیرهای کنترلی و غیره می‌باشد.

برای ادامه محاسبات از اتصالات و شیرآلات به دو دلیل اصلی در مدار سامانه صرف نظر شده است:

(1) امکان جانمایی متقاض اتصالات و شیرآلات

(2) جرم قابل چشم‌پوشی نسبت به سایر اجزاء

جانمایی متقاض اتصالات و شیرآلات، مرکز جرم این مجموعه از المان‌ها را به سمت مبدأ مختصات سوق خواهد داد. علاوه بر آن، سهم جرمی مجموعه اتصالات و شیرآلات، در مقایسه با جرم کل سامانه کمتر از ده درصد می‌باشد. بنابراین تأثیر آن‌ها بر روی موقعیت مرکز جرم کل سامانه قابل چشم‌پوشی می‌باشد. همان‌طور که در معادله 19 نشان داده شده است، موقعیت اجزاء سامانه به طور مستقیم بر روی مرکز جرم مؤثر است که آن نیز به نوبه خود سامانه کنترلی یک تکنیک کلیدی برای بهبود عملکرد کل سامانه است. با توجه به نکات اخیر طراحی جانمایی را می‌توان به دو روش انجام داد:

(1) تعامل انسان و کامپیوتر

(2) پیاده‌سازی روش‌های بهینه‌سازی

3-3- تعامل انسان و کامپیوتر (طراحی بر مبنای تکرار)

روشن تعامل انسان و کامپیوتر (روشن تجربی) مبتنی بر تجربه، سعی و خطا و عملیات مهندسی می‌باشد. این تجربیات در قالب فرمولهای ریاضی بیان نشده‌اند و مبتنی بر تجربیات شخصی می‌باشند. در این روش جانمایی اجزای سامانه با در نظر گرفتن تمامی قیود طراحی به طور مستقیم توسط کاربر، به دست آمده است. سپس تابع هدف محاسبه می‌شود. اگر جانمایی انجام شده نتواند هدف مدنظر را برآورده کند، مراحل فوق تا رسیدن به طرح قابل قبول تکرار خواهد شد. در طراحی به روش تکرار، ابتدا یک طرح اولیه ایجاد می‌شود. پس از ارزیابی تابع هدف و قیود، طرح اولیه اصلاح شده و این فرآیند آنقدر ادامه می‌باید که در نهایت طرح مطلوب که تمامی قیود طراحی را نیز ارضاء می‌کند، به دست آید. برای انجام جانمایی برای مسئله مطرح در این مقاله، در گام اول محدوده قابل قبول برای تغییرات مرکز جرم محاسبه می‌شود. سپس جانمایی به نحوی ایجاد خواهد شد که محدوده تغییرات مرکز جرم به دست آمده از حد مجاز تجاوز نکند. اگر مقادیر به دست آمده از جانمایی اجزا نتوانند محدوده‌های مدنظر را برآورده کند، جانمایی بر طبق روند نشان داده شده در شکل 2 اصلاح خواهد شد. با توجه به شکل مخازن و به منظور دست یافتن به بهترین پاسخ‌ها، طرح‌های متعددی از جانمایی، مورد بررسی قرار گرفت تا در نهایت بهترین موقعیت هر جز به دست آمد. نتایج این بررسی در شکل‌های 7-الف، 8-الف و 9-

اولین گام در مدل سازی ریاضی تعریف متغیرهای طراحی، حد بالا و پایین آنها (معادلات 23-21) و پارامترهای طراحی است که در جدول 7 نشان داده شده‌اند. روند محاسبه محدوده متغیرها به شکل رابطه (21) می‌باشد:

$$x_{L_i} \leq x_{U_i} \leq x_{U_i} \quad (21)$$

در این معادله x_{L_i} و x_{U_i} حد پایین و بالا برای آمین متغیر طراحی می‌باشند که به وسیله روابط (22) و (23) محاسبه شده‌اند:

$$x_{U_i} = R_c - c_5 - (r_i + t_i) \quad (22)$$

$$x_{L_i} = -(R_c - c_5 - (r_i + t_i)) \quad (23)$$

در معادله اخیر R_c ، بیانگر شعاع فضای داخلی در دسترس برای طراحی جانمایی و حداقل فاصله مجاز بین اجزا و فضای داخلی می‌باشد (به دلیل محدودیت‌های ارتعاشی). r_i و t_i ، شعاع و ضخامت اجزا می‌باشند به دلیل تقارن از آنجا که متغیرهای طراحی، مختصات اجزا می‌باشند به دلیل تقارن فضای طراحی، حد پایین متغیرهای طراحی برابر حد بالای آنها می‌باشد باعلام منفی.

جدول 5 پارامترهای طراحی

ردیف	توضیحات	نام پارامتر واحد
1	شعاع مخزن سوخت کروی	cm $R_{f,Sph}$
2	شعاع مخزن سوخت استوانه‌ای	cm $R_{f,Cyl}$
3	ارتفاع مخزن سوخت استوانه‌ای	cm $h_{f,Cyl}$
4	شعاع مخزن سوخت چنب	cm $R_{f,Tor}$
5	شعاع متوسط مخزن سوخت چنب	cm $R_{m,f,Tor}$
6	ضخامت مخزن سوخت کروی	cm $t_{f,sph}$
7	ضخامت مخزن سوخت استوانه‌ای	cm $t_{f,cyl}$
8	ضخامت مخزن سوخت چنب	cm $t_{f,Tor}$
9	شعاع مخزن اکسیدایزر کروی	cm $R_{Ox,Sph}$
10	شعاع مخزن اکسیدایزر استوانه‌ای	cm $R_{Ox,Cyl}$
11	ارتفاع مخزن اکسیدایزر استوانه‌ای	cm $h_{Ox,Cyl}$
12	شعاع مخزن اکسیدایزر چنب	cm $R_{Ox,Tor}$
13	شعاع متوسط مخزن اکسیدایزر چنب	cm $R_{m,Ox,Tor}$
14	ضخامت مخزن اکسیدایزر کروی	cm $t_{Ox,sph}$
15	ضخامت مخزن اکسیدایزر استوانه‌ای	cm $t_{Ox,cyl}$
17	ضخامت مخزن اکسیدایزر چنب	cm $t_{Ox,Tor}$
18	شعاع مخزن تأمین فشار	cm R_{pt}
19	ارتفاع مخزن تأمین فشار	cm h_{pt}
20	ضخامت مخزن تأمین فشار	cm t_{pt}
21	جرم مخزن سوخت	kg $m_{f,tank}$
22	جرم مخزن اکسیدایزر	kg $m_{ox,tank}$
23	جرم مخزن تأمین فشار 1	kg $m_{p,tank1}$
24	جرم مخزن تأمین فشار 2	kg $m_{p,tank2}$
25	جرم مخزن تأمین فشار 3	kg $m_{p,tank3}$
26	جرم رگلاتور	kg m_{reg}
27	جرم اولیه سوخت	kg $m_{0,f}$
28	جرم اولیه اکسیدایزر	kg $m_{0,ox}$
29	دبی حجمی سوخت	l \dot{v}_f
30	دبی حجمی اکسیدایزر	l \dot{v}_{ox}
31	چگالی سوخت	gr/cm ³ ρ_f
32	چگالی اکسیدایزر	gr/cm ³ ρ_{ox}
33	شعاع فضای جانمایی	cm R_c
34	ارتفاع فضای جانمایی	cm h_c

4-3- بهینه سازی

در سامانه‌های موجود با توجه به تعداد اجزا و تغییرات هر یک از آنها در طول زمان و همچنین وجود قیودی که در برخی از نقاط با یکدیگر تداخل خواهند داشت، مسئله جانمایی به کمک روش تجربی، تبدیل به یک موضوع پیچیده در طراحی می‌شود. با توجه به جمیع این موارد، روش مبتنی بر سعی و خطأ، لزوماً نمی‌تواند به یک طرح بهینه منجر شود. بنابراین با پیاده‌سازی روش تجربی در بحث جانمایی، علاوه بر بدست آوردن پاسخی غیر بهینه، پیمودن مراحل طراحی خود فرآیندی وقت‌گیر خواهد بود. بنابراین طراحان به دنبال راه‌هایی برای کاهش هزینه و زمان برای رسیدن به اهداف فوق می‌باشند. به کارگیری روش‌های مبتنی بر منطق بهینه سازی یک استراتژی مؤثر در حل این‌گونه از مسائل می‌باشد.

بهینه سازی یک شاخه از ریاضیات کاربردی می‌باشد که هدف از آن یافتن مقادیر کمینه یا بیشینه یکتابع در ارتباط با قیدهای متفاوت بر روی متغیرهای طراحی است [19]. جداول 3 و 4 در بردارنده متغیرهای طراحی در صفحه $-x$ و در راستای z برای مسئله پیش‌رو می‌باشند. بنابراین بهینه سازی را می‌توان یکبار در صفحه $-x$ و بار دیگر در راستای z اجرا کرد.

علاوه بر این، پارامترهای طراحی در جدول 5 بیان شده‌اند. به منظور تبدیل یک مسئله مهندسی به یک مسئله بهینه سازی، باید آن را در قالب یک مدل ریاضی بیان کرد.

4-1-4-3- مدل سازی ریاضی

در فرآیند بهینه سازی، بدست آوردن یک مدل ریاضی مناسب ضروری می‌باشد. در این مدل، تابع هدف، قیود، متغیرها و ثابت‌های طراحی تعریف می‌شوند. تعريف فضای طراحی به صورت یک فضای پیوسته یا گسسته یکی از مهم‌ترین نتایج بیان صحیح مسئله به صورت مدل ریاضی می‌باشد. این مدل ریاضی در انتخاب روش بهینه سازی مورد استفاده و فرآیند حل مسئله بسیار تأثیرگذار می‌باشد.

جدول 3 متغیرهای بهینه سازی در صفحه $-x$

ردیف	نام متغیر	شرح
1	x_1	محضه x مخزن اکسیدایزر
2	x_2	محضه z مخزن اکسیدایزر
3	x_3	محضه x مخزن سوخت
4	x_4	محضه z مخزن سوخت
5	x_5	محضه x مخزن تأمین فشار 1
6	x_6	محضه z مخزن تأمین فشار 1
7	x_7	محضه x مخزن تأمین فشار 2
8	x_8	محضه z مخزن تأمین فشار 2
9	x_9	محضه x مخزن تأمین فشار 3
10	x_{10}	محضه z مخزن تأمین فشار 3
11	x_{11}	محضه x رگلاتور
12	x_{12}	محضه z رگلاتور

جدول 4 متغیرهای بهینه سازی در صفحه z

ردیف	نام متغیر	شرح
1	x_1	محضه z مخزن اکسیدایزر
2	x_2	محضه z مخزن سوخت
3	x_3	محضه z مخزن تأمین فشار 1
4	x_4	محضه z مخزن تأمین فشار 2
5	x_5	محضه z مخزن تأمین فشار 3
6	x_6	محضه z رگلاتور

R و R_m به ترتیب شعاع مقطع و شعاع متوسط مخازن چنبر می‌باشند. c_6 فاصله مجاز بین اجزا به منظور عدم تداخل و c_7 حداکثر فاصله مجاز از مرزهای فضای طراحی می‌باشد. بهدلیل محدودیت‌های ارتعاشی تمامی اجزا باید در فضای داخلی ثابت شوند. بنابراین اجزای سیستم نمی‌توانند از حد معینی دورتر از مرزهای فضای طراحی قرار داده شوند. بنابراین حداکثر فاصله بین اجزا و مرزهای فضای طراحی با معادله 26 محدود می‌شود.

3-4-2- روش بهینه‌سازی

همان‌طور که جداول 3 و 4 و تعریف قیود وتابع هدف نشان می‌دهند، فضای طراحی یک محیط پیوسته می‌باشد. بنابراین مقادیر مشتق برای آن موجود خواهد بود. بر طبق این ویژگی و قیدهای غیرخطی موجود، بهترین تکنیک بهینه‌سازی برای این مسئله روش برنامه‌ریزی متوالی درجه دوم می‌باشد. در این روش روند جستجو به صورت خطی می‌باشد. با شروع از یک نقطه x_0 در فضای جستجو و حرکت در یک راستا به میزان معین، نقاط بعدی به عنوان جواب بهتر به دست می‌آیند و در نهایت بهترین جواب، x^* پیشنهاد می‌شود. این روش، اساس کار بسیاری از روش‌های بهینه‌سازی چند متغیره نیز می‌باشد. اگر x_k جواب یافته شده در مرحله k ام باشد، جواب مرحله‌ی بعدی به صورت رابطه (29) به دست می‌آید [20]:

$$x^{(k+1)} = x^{(k)} + \alpha_k d_k \quad (29)$$

در رابطه (29)، α_k یک اسکالر می‌باشد، $\alpha_k \in (0,1]$ ، و در هر تکرار مقدار آن تغییر می‌کند و d_k برداری هم بعد با x_k می‌باشد. d_k جهت حرکت و میزان حرکت را مشخص می‌کند.

محدوده متغیرها در راستای z با قید عدم بیرون افتادگی تمام یا بخشی از آن‌ها از فضای طراحی تعریف می‌شود. اگر از مخازن چنبر استفاده شود بهدلیل شکل خاص آن‌ها، امکان تغییر جانمایی آن‌ها در صفحه $y-x$ - وجود نخواهد داشت. بنابراین حد پایین و بالای آن‌ها برابر بوده و در مبدأ مختصات قرار دارد.

گام بعدی در فرآیند بهینه‌سازی، تعریف محدودیت‌های فضای طراحی می‌باشد. این محدودیت‌ها تحت قیود مساوی و نامساوی تعریف می‌شوند. تابع هدف و قیود به شکل رابطه (24) تعریف می‌شوند:

$$\min |f(x)| = |x_{cg}i + y_{cg}j + z_{cg}k| \quad (24)$$

مطابق با شکل مخازن، دو حالت برای تعریف قیدها وجود خواهد داشت:

(1) مخازن به شکل کروی یا استوانه‌ای باشند که از روابط (25) تا (27) استفاده می‌شود:

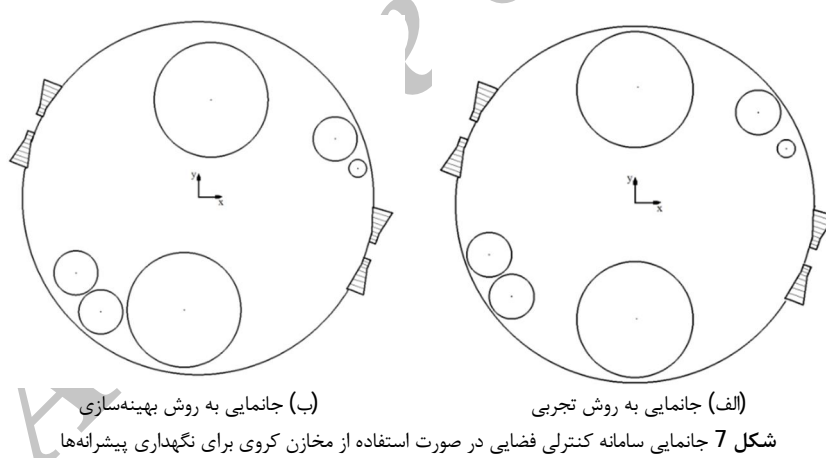
$$g_1(x) = x_i^2 + y_i^2 \leq (R_c - (r_i + t_i + c_6))^2 \quad (25)$$

$$g_2(x) = x_i^2 + y_i^2 \geq (R_c - c_7)^2 \quad (26)$$

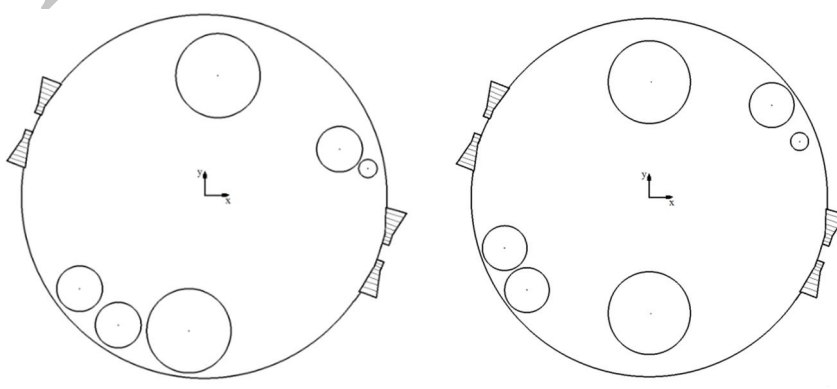
$$g_3(x) = ((r_i + t_i) + (r_j + t_j) + c_6)^2 \leq (x_j - x_i)^2 + (y_j - y_i)^2 \quad (27)$$

(2) مخازن پیشانه به شکل چنبر بوده و مخازن گاز دمشی به شکل کروی یا استوانه‌ای باشند (رابطه (28)):

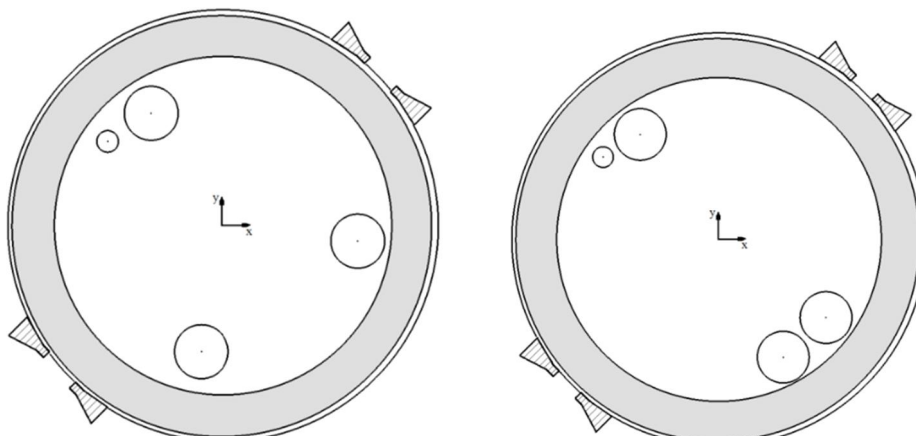
$$g_4(x) = ((R_i + t_i) - (r_j + t_j) - c_6)^2 \geq (x_j - x_i)^2 + (y_j - y_i)^2 \quad (28)$$



(الف) جانمایی به روش تجربی
(ب) جانمایی به روش بهینه‌سازی
شکل 7 جانمایی سامانه کنترلی فضایی در صورت استفاده از مخازن کروی برای نگهداری پیشانه‌ها



(الف) جانمایی به روش تجربی
(ب) جانمایی به روش بهینه‌سازی
شکل 8 جانمایی سامانه کنترلی فضایی در صورت استفاده از مخازن استوانه‌ای برای نگهداری پیشانه‌ها



(الف) جانمایی به روش تجربی

(ب) جانمایی به روش پیوپه‌سازی

شکل 9 جانمایی سامانه کنترلی فضایی در صورت استفاده از مخازن چنبر برای نگهداری پیشرانه‌ها (قسمت‌های توپر مخازن چنبر می‌باشند)

جدول 6 مختصات اجزا در صورت استفاده از روش‌های تجربی و پیوپه‌سازی در صفحه $y-z$

متغیر	مخازن چنبر			مخازن استوانه‌ای			مخازن المان‌ها		
	مخازن المان‌ها			مخازن المان‌ها			مخازن المان‌ها		
	جانمایی پیوپه	جانمایی تجربی	جانمایی بهینه	جانمایی پیوپه	جانمایی تجربی	جانمایی بهینه	جانمایی پیوپه	جانمایی تجربی	جانمایی بهینه
x_1	0	5/956	0	6/04	0	0	0	0	0
x_2	51/59	44/6	51/59	53/15	0	0	0	0	0
x_3	0	6/37	0	-6/72	0	0	0	0	0
x_4	51/59	50/6	51/59	-59/12	0	0	0	0	0
x_5	55	62/47	55	59/26	-30/47	-26/76	-26/76	-26/76	x_5
x_6	41/31	26/85	41/31	20/82	-40/67	41/61	41/61	41/61	x_6
x_7	-55	-44/36	-55	-37/68	41/35	50/09	50/09	50/09	x_7
x_8	41/31	-51/53	41/31	-56/59	-30/25	-5/72	-5/72	-5/72	x_8
x_9	-65	-55/68	-65	-54/55	24/86	-8/12	-8/12	-8/12	x_9
x_{10}	22/55	-33/84	22/54	-40/59	45/57	46/69	46/69	46/69	x_{10}
x_{11}	67/5	72/75	67/5	71/64	-44/85	42/95	42/95	42/95	x_{11}
x_{12}	25/05	13/49	25/05	12/29	31/91	31/20	31/20	31/20	x_{12}

جدول 7 مختصات اجزا در صورت استفاده از روش‌های تجربی و پیوپه‌سازی در راستای z

متغیر	مخازن چنبر			مخازن استوانه‌ای			مخازن المان‌ها		
	مخازن المان‌ها			مخازن المان‌ها			مخازن المان‌ها		
	جانمایی پیوپه	جانمایی تجربی	جانمایی بهینه	جانمایی پیوپه	جانمایی تجربی	جانمایی بهینه	جانمایی پیوپه	جانمایی تجربی	جانمایی بهینه
x_1	0	13	0	0	0	0	20/58	20/58	x_1
x_2	0	-6/76	0	0	0	0	-31/85	-31/85	x_2
x_3	0	-1/73	0	9	0	0	-0/007	-0/007	x_3
x_4	0	-1/73	0	9	0	0	-0/007	-0/007	x_4
x_5	0	-1/73	0	9	0	0	-0/007	-0/007	x_5
x_6	0	-0/62	0	30	0	0	-0/002	-0/002	x_6

3-5- بررسی و اعتبارسنجی نتایج بهدست آمده

با توجه به مقالات ارائه شده در مبحث طراحی جانمایی، هیچ مثال کاملاً مشابهی در مسئله جانمایی المان‌های وزن دار که در آن جرم اجزای جانمایی متغیر با زمان باشد، مشاهده نشد. از سوی دیگر در مسائل با المان‌های ثابت در طول زمان، با توجه به گستردگی مسائل جانمایی تابع هدف‌های مورد نظر بسیار متفاوت می‌باشند. علاوه بر نوع تابع هدف، قیدهای موجود ناشی از الزامات ارتعاشی و چیدمان داخلی مختص به مثال مورد بررسی در این مقاله می‌باشند. بنابراین صحه‌گذاری نتایج بهدست آمده با نتایج مقالات منتشر

یکی از مهم‌ترین مزایایی که این الگوریتم نسبت به سایر الگوریتم‌های بهینه‌سازی دارد سرعت همگرایی و دقت بالای آن می‌باشد. شکل‌های 7، 8 و 9 نشان‌گر موقعیت هر جز قبل و بعد از پیاده‌سازی بهینه‌سازی می‌باشد. پس از پیاده‌سازی الگوریتم بهینه‌سازی، بهترین جانمایی اجزا بهدست آمده است که نتایج آن در جداول 6 و 7 و شکل‌های 7-ب و 8-ب و 9-ب نشان داده شده‌اند. جداول 6 و 7 نشان‌گر موقعیت هر جز قبل و بعد از پیاده‌سازی بهینه‌سازی می‌باشد. جداول 8 و 9 بیانگر تغییرات مرکز جرم در هر لحظه از زمان کار کرد سامانه، در صفحه $y-z$ و در راستای z می‌باشند.

مثال 1:

یک مثال پرکاربرد از مسئله جانمایی، جانمایی اجرا در ماهواره‌ها می‌باشد [21] که پیشینه مهندسی آن به طراحی جانمایی اجزای ماهواره در [22] باز می‌گردد. همانند اجزای نشان داده شده در شکل 10، [23]، جانمایی اجزای ماهواره در بخش‌های فوقانی و تحتانی یک یا چند صفحه عمود بر راستای Z دستگاه مختصات ماهواره، انجام می‌شود. در این قسمت قصد بر آن است تا جانمایی 9 المان را بر روی قسمت فوقانی یک صفحه در فضای داخلی ماهواره انجام شود. شعاع صفحه (فضای جانمایی) برابر $R=250\text{mm}$ می‌باشد. هر یک از المان‌های جانمایی با زیروند X متمایز شده‌اند و مشخصات آن‌ها در جدول 10 ارائه شده است.

هدف یافتن مختصات هر یک از اجرا به شکل (x_i, y_i, z_i) به نحوی است که مرکز جرم سیستم تا جای ممکن به مرکز مبدأ مختصات در فضای داخلی ماهواره نزدیک باشد. علاوه بر این هیچ تداخلی مابین هر دو جز مستقل با یکدیگر و همچنین هر جز با مرزهای محیط جانمایی، نباید به وجود آید. مدل‌سازی ریاضی مسئله اخیر همانند روش ارائه شده در بخش 4-3 در این مقاله می‌باشد.

با به کارگیری الگوریتم SQP به عنوان بهینه‌ساز، هر یک از اجرا در مکان بهینه خود قرار گرفته‌اند. در ابتدا یک جانمایی ابتدایی به عنوان حدس اولیه به الگوریتم SQP معرفی شده است. سپس با پیمایش نقطه به نقطه فضای طراحی، جانمایی بهینه ارائه شده است که نتایج آن در شکل 11 و جدول 11 قابل مشاهده است. با بررسی شکل 11 مشخص است که روش ارائه شده در این مقاله در حل مسئله جانمایی بسیار توانمند می‌باشد. از طرفی مقایسه مقادیر نتایج، مبین کارایی بهتر و دقیق‌تر روش ارائه شده در این مقاله در حل مسئله جانمایی می‌باشد. روش مورد استفاده در این مقاله مقدار تابع هدف را به میزان $99/89$ درصد نسبت به مرجع [23] کاهش داده است. در واقع مقدار به دست آمده برای مرکز جرم $(R=\sqrt{x^2+y^2})$ از $R=2/83$ در مرجع [23] به $R=0/003$ در این مقاله کاهش یافته است.

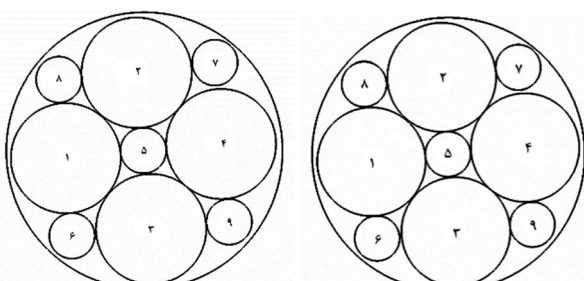
مقادیر بهینه مختصات اجرا با روش به کار گرفته شده در مرجع [23] و همچنین روش به کار گرفته شده در این مقاله در جدول 11 ارائه شده است.

مثال 2:

از آنجا که مسئله ارائه شده در مثال 1 و همچنین نمونه‌های موجود در مقالات مشابه، دلایل المان‌های متغیر در طول زمان نمی‌باشند، به منظور اثبات کارآمدی روش ارائه شده در حل این گونه از مسائل، یک طرح ساده‌شده از مسئله مورد بحث در این مقاله با جواب معلوم بدینه، در این قسمت مورد بررسی قرار می‌گیرد.

جدول 10 شعاع و وزن هر یک از المان‌ها

i	r_i (mm)	m_i (kg)
1-4	207/11	42/89
5-9	85/79	7/36



شکل 11 نتایج طراحی بهینه ارائه شده در مرجع [23] (سمت چپ) و به دست آمده در این مقاله (سمت راست)

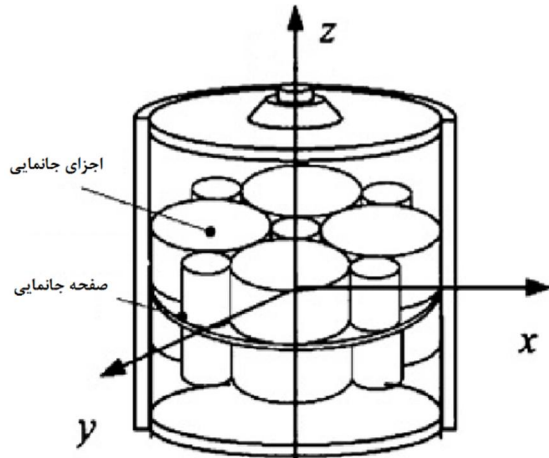
شده در این حوزه نیازمند برخی ساده‌سازی‌ها خواهد بود. از آنجا که ارزیابی روش پیشنهادی و اثبات کارایی آن، بسیار حائز اهمیت می‌باشد، در مثال 1 با استفاده از نتایج مقالات مشابه، به این کار خواهیم پرداخت. سپس با استفاده از مثال 2 که یک نمونه ساده‌شده از مسئله مورد نظر در این پژوهش و با جواب معلوم می‌باشد، کارایی روش در مورد این مقاله به اثبات می‌رسد.

جدول 8 تغییرات مرکز جرم با زمان (Z_{cg}) (cm) برای جانمایی بهینه

نوع مخازن			
کروی	استوانه‌ای	چنبه	زمان (s)
5/349	5/376	0/0046	0
4/981	4/924	0/0049	10
4/564	4/420	0/0051	20
4/084	3/856	0/0055	30
3/540	3/219	0/0059	40
2/900	2/495	0/0063	50
2/145	1/665	0/0068	60
1/242	0/703	0/0074	70
0/150	0/424	0/0081	80
1/241	1/764	0/0089	90
3/005	3/382	0/0099	100
5/349	5/376	0/0113	110

جدول 9 تغییرات مرکز جرم با زمان (Z_{cg}) (cm) برای جانمایی بهینه

نوع مخازن			
کروی	استوانه‌ای	چنبه	زمان (s)
-2/613	-3/579	-1/378	0
-3/371	-4/926	-1/850	10
-4/030	-6/111	-2/269	20
-4/629	-7/105	-2/637	30
-5/111	-7/871	-2/938	40
-5/445	-8/362	-3/156	50
-5/640	-8/518	-3/261	60
-5/603	-8/260	-3/208	70
-5/229	-7/478	-2/934	80
-4/428	-6/026	-2/342	90
-2/873	-3/688	-1/356	100
0	0	-0/024	110



شکل 10 ساختار ساده‌شده از ماهواره مورد نظر [23] در مثال 1

روش تجربی کاهش یافته است.

بر طبق جدول 12، جایگایی مرکز جرم در راستای Z برای یک سامانه با مخازن کروی، بیانگر کاهش $29/4$ درصدی در پاسخها می‌باشد. بهبود نتایج حاصل از پیشنهادی در راستای Z برای مخازن استوانه‌ای و چنبر چندان قابل انتکا نمی‌باشد. دلیل اصلی این امر محدودیت فضای طراحی در راستای Z می‌باشد.

محدوده تغییرات مرکز جرم برای مدل بهینه کمتر می‌باشد که خود منجر به کاهش اغتشاشات در مدل بهینه می‌شود. بنابراین کارکرد سامانه فضایی بهبود خواهد یافت.

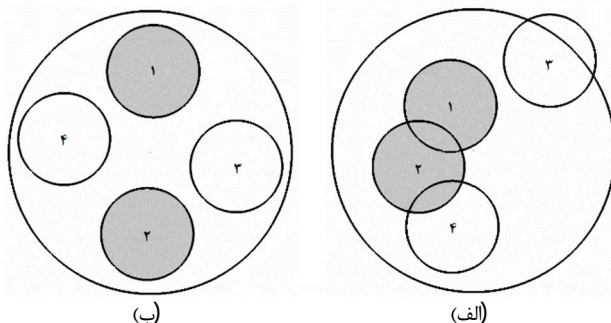
بر طبق شکل‌های 13 و 14، جانمایی پیشنهادی پایدارتر می‌باشد. در نتیجه برای بازگشت به وضعیت مطلوب، مقدار کمتری از پیشرانه‌ها نیاز خواهد بود و مخازن پیشرانه‌های کوچکتری قابل استفاده می‌باشد. بنابراین سامانه سبک‌تر خواهد بود که خود منجر به استفاده از تراسترهای کوچک‌تر برای جلوگیری از اغتشاشات می‌شود.

شکل 13 نشان‌گر این است که پس از پیشنهادی بهینه، برای مخازن چنبر تغییرات مرکز جرم نزدیک به صفر خواهد بود. علاوه بر این مقایسه مخازن کروی و استوانه‌ای نشان می‌دهد که تغییرات ایجاد شده برای این مخازن بسیار نزدیک به هم می‌باشد. بنابراین در سامانه‌هایی با محدودیت‌های بالا، مخازن کروی به جای مخازن استوانه‌ای قابل استفاده خواهد بود بدون آنکه تغییر چندانی در صفحه $u-x$ ایجاد شود.

شکل 14، نشان‌دهنده آن است که در شرایط بهینه، تغییرات مرکز جرم در راستای Z برای مخازن کروی و چنبر بسیار نزدیک به هم می‌باشند. بنابراین برای پرهیز از پیچیدگی‌های موجود در ساخت و استفاده از مخازن چنبر، در صورت مواجهه با الزامات جدی در تغییرات مرکز جرم در راستای Z ، مخازن کروی مناسب خواهد بود.

5- نتیجه‌گیری

اغلب پژوهش‌ها در زمینه مسئله جانمایی، به بررسی جانمایی در ماهواره‌ها پرداخته‌اند و هدف آن‌ها افزایش پایداری و کاهش ممان اینرسی و چگالی جانمایی بوده است. اکثر مقالات اجزای جانمایی را به صورت المان‌های ثابت در طول زمان در نظر گرفته‌اند. در این مقاله با یک رویکرد جدید به مسئله جانمایی نگاه شده است که آن را برای کاربرد در مسائل هوافضایی و به خصوص در بحث پیش‌انش سامانه‌های هوافضایی، قابل استفاده کرده است. در این رویکرد هدف نهایی کاهش دامنه تغییرات مرکز جرم بوده است. دو روش شامل تعامل انسان و کامپیوتر و همچنین روش پیشنهادی برای طراحی جانمایی مورد استفاده قرار گرفته است. در روش تجربی، بر پایه تجربیات مهندسی و فرآیند سعی و خطأ، جانمایی‌های متفاوتی طراحی شده است. در این جانمایی‌ها، هدف ارضای محدوده مجاز تغییرات مرکز جرم با در نظر گرفتن مصالحه بین تقارن مکانی و تقارن جرمی آن‌ها می‌باشد.



شکل 12 المان‌های جانمایی پیش از پیاده‌سازی بهینه‌سازی (الف) و پس از پیاده‌سازی بهینه‌سازی (ب)

جدول 11 نتایج طراحی بهینه ارائه شده در مرجع [23] و بدست آمده در این مقاله

مشخصات اجزای در این مقاله	نتایج بهینه ارائه شده		نتایج بهینه بدست آمده	
	در مرجع [23]	در این مقاله	در مرجع [23]	در این مقاله
$y(\text{mm})$	$x(\text{mm})$	$y(\text{mm})$	$x(\text{mm})$	$r(\text{mm})$
-27/79	-293/49	-27/9	-295/81	207/11
293/51	-25/67	293/26	-29/34	207/11
294/05	28/41	-294/26	25/33	207/11
26/10	292/27	25/84	288/55	207/11
1/32	-2/04	1/12	-4/08	85/79
-319/87	271/62	-319/91	-272/26	7/36
331/22	265/78	331/17	265/08	85/79
267/53	-321/21	267/49	-321/85	7/36
267/21	320/15	-267/31	318/9	85/79
$0/003R=$		$2/83R=$		

در این مثال چهار المان کروی در نظر گرفته شده است. دو المان کروی مانند مخازن مورد بحث در این مقاله دارای جرم متغیر در طول زمان (دایره‌های توپر) با نرخ تخلیه ثابت و دو المان کروی دارای جرم ثابت می‌باشند. در ابتدا المان‌های کروی به صورت نامتقارن جانمایی شده و قیود هندسی نیز نقض شده‌اند (شکل 12-الف). همان‌طور که در شکل 12-ب مشاهده می‌شود پس از پیاده‌سازی روش بهینه‌سازی، نه تنها تابع هدف مسئله کمینه شده است (مرکز جرم در مبدأ مختصات فضای جانمایی قرار گرفته است)، بلکه تمامی قیود موجود مانند عدم تداخل المان‌های جانمایی نیز از پا شده است.

4- بررسی و تحلیل نتایج

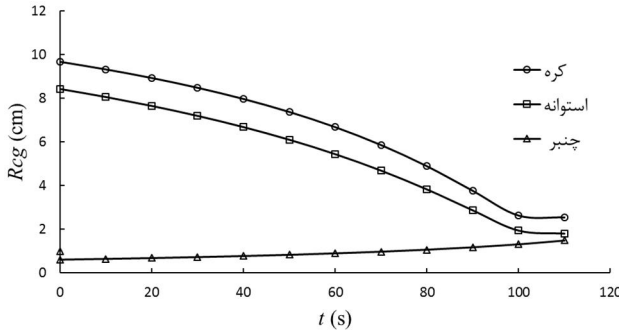
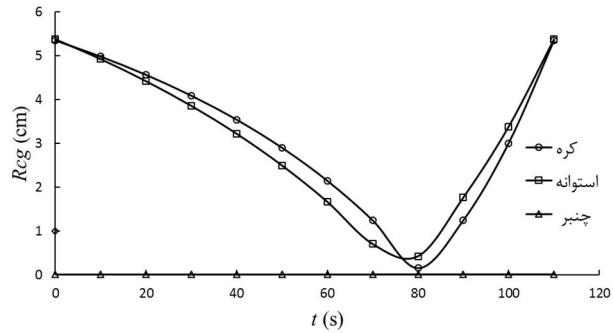
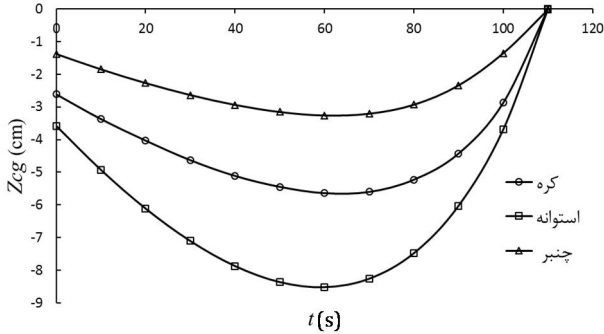
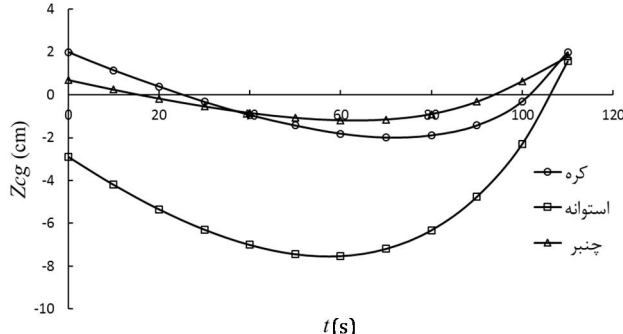
با بررسی نتایج بدست آمده، مزیت‌های روش پیشنهادی نسبت به روش تجربی به صورت زیر بیان می‌شود:

با بررسی جدول 12، می‌توان مشاهده کرد که جایگایی مرکز جرم در صفحه $u-x$ برای مخازن کروی، استوانه‌ای و چنبر با به کارگیری روش بهینه‌سازی به ترتیب 28/1 درصد، 21/2 درصد و 99/2 درصد، نسبت به

جدول 12

مقایسه نتایج حاصل از طراحی جانمایی به روش تجربی و پیشنهادی

نوع مخازن	مرکز جرم (cm)	مقادیر بدست آمده از روش تجربی	مقادیر بدست آمده از پیاده‌سازی بهینه‌سازی	میزان بهبود پاسخها
کروی	ΔR_{cg}	7/3560	5/2865	%28/1
استوانه‌ای	ΔZ_{cg}	5/6607	3/9970	%29/4
استوانه‌ای	ΔR_{cg}	6/7589	5/3264	%21/2
استوانه‌ای	ΔZ_{cg}	8/5198	7/5438	%11/5
چنبر	ΔR_{cg}	0/8758	0/0067	%99/2
چنبر	ΔZ_{cg}	3/2412	3/0001	%7/4

شکل 13 مقایسه تغییرات R_{cg} با زمان در جانمایی بهینه‌سازی (چپ) و پیکربندی‌های مختلف مخازنشکل 13 مقایسه تغییرات R_{cg} با زمان در جانمایی بهینه‌سازی (چپ) و پیکربندی‌های مختلف مخازنشکل 14 مقایسه تغییرات Z_{cg} با زمان در جانمایی بهینه‌سازی (چپ) و پیکربندی‌های مختلف مخازن

از آنجا که در این روش طراح قادر به بررسی کل فضای طراحی جانمایی بدهست آمده لزوماً جانمایی بهینه نخواهد بود. بنابراین ضرورت بهینه‌سازی طراحی به شدت احساس می‌شود. در فرآیند بهینه‌سازی، پس از محاسبه مدل ریاضی و تعریف یک فضای طراحی بپوسته، یک روش گرادیانی مورد استفاده قرار گرفته است و بهترین طرح برای کمینه کردن دامنه تغییرات مرکز جرم ارائه شده است.

در این دو روش، مرکز جرم سامانه کنترلی در زمان کارکرد سامانه برای چیدمان‌های مختلف (مخازن کروی، استوانه‌ای و چنبر)، در صفحه x-y و در راستای z محاسبه شده است. مقایسه نتایج بدست آمده بیانگر بہبود قابل ملاحظه خروجی‌ها با کمک روش بهینه‌سازی می‌باشد. علاوه بر این، نتایج حاصل از چیدمان‌های مختلف نشان‌گر این واقعیت می‌باشد که در سامانه‌هایی که کنترل وضعیت از اهمیت بالایی برخوردار است، استفاده از مخازن به شکل چنبر برای نگهداری پیشرانه‌ها در اولویت قرار خواهد داشت.

6- مراجع

- [7] R.B. Xiao, Y.C. Xu, M. Amos, Two hybrid compaction algorithms for the layout optimization problem, *Bio Systems*, Vol. 90, No. 2, pp. 560-567, 2007.
- [8] Y.C. Xu, R. B. Xiao, M. Amos, Particle swarm algorithm for weighted rectangle placement, *Proceedings of the Third International Conference on Natural Computation (ICNC07)*, IEEE Press, pp. 728-732, 2007.
- [9] Y.C. Xu, R.B. Xiao, M. Amos, A novel genetic algorithm for the layout optimization problem, *Proceedings of the 2007 IEEE Congress on Evolutionary Computation (CEC07)*, IEEE Press, pp. 3938-3942, 2007.
- [10] B. Zhang, H.F. Teng, Y.J. Shi, A layout optimization of satellite module using soft computing techniques, *Applied Soft Computing Journal*, Vol. 8, No. 1, pp. 507-521, 2008.
- [11] H.F. Teng, Y. Chen, A dual-system variable-grain cooperative coevolutionary algorithm, satellite-module layout design, *IEEE Transaction on Evolutionary Computation*, Vol. 14, No. 3, pp. 438-445, 2010.
- [12] Y. Wang, H.F. Teng, Knowledge fusion design method: satellite module layout, *Chinese Journal of Aeronautics*, Vol. 22, pp. 32-42, 2009.
- [13] Y.C. Xu, F.M. Dong, Y. Liu, R.B. Xiao, Ant colony algorithm for the weighted item layout optimization problem, 2010.
- [14] H. Wang, W. Huang, Q. Zhang, D. Xu, An improved algorithm for the packing of unequal circles within a larger containing circle, *European Journal of Operational Research*, Vol. 141, pp. 440-453, 2002.
- [15] R.B. Wilson, A simplicial algorithm for concave programming, PHD thesis, *Graduate School of Business Administration*, Harvard University, 1963.
- [16] G. Sutton, O. Biblarz, *Rocket propulsion elements*, 7th edition, New York: John Wiley & Sons, Chapter 2, 2001.
- [17] K.H. Lee, S.R. Lee, Comparative study of lunar mission requirements and onboard propulsion system performance, *Journal of Progress in Aerospace Science*, Vol. 47, pp. 480-493, 2011.
- [18] A. Devereaux, F. Cheuret, Development testing of a new bipropellant propulsion system for the GMP-T spacecraft, *Space Propulsion Conference*, pp. 1-4, 2010.
- [19] L. Liberti, Introduction to global optimization, *Ecole Polytechnique*, 2008.
- [20] J. Nocedal, Wright S. J. *Numerical Optimization*, 2nd Edition, Springer ScienceBusiness Media, LLC Press, 2006.
- [21] H.F. Teng, C. Che, Y. Chen, Y. S. Wang, Test problems of circles in circle packing with constraints and known the optimal solutions, *Optimization online [Online]*, Available: http://www.optimization-online.org/DB_FILE/2004/10/976.pdf0, 2004.
- [22] H.F. Teng, S. L. Sun, D. Q. Liu, Y. Z. Li, Layout optimization for the objects located within a rotating vessel: A 3-D packing problem with behavioral constraints, *Computers and Operations Research*, Vol. 28, No. 6, pp. 521-535, 2001.
- [23] H. F. Teng, Y. Chen, W. Zheng, Y. J. Shi, O. H. Hu, A dual system variable-grain cooperative coevolutionary algorithm: satellite-module layout design, *IEEE transaction on evolutionary computation*, Vol. 14, no. 3, pp. 438-455, 2010.
- [1] P. Zhang, D. Romero, J. Beck, C. Amon, Solving wind farm layout optimization with mixed integer programs and constraint programs, *European Journal of Computational Optimization*, Vol. 2, No. 3, pp. 195-219, 2014.
- [2] B. John, J. James, R. Rengaraj, Analysis and optimization of plant layout using relative allocation of facilities technique, *International journal of Emerging Technology and Advanced Engineering*, Vol. 3, No. 8, 2013.
- [3] L. Xiong, R. Molfino, M. Zoppi, Fixture layout optimization for flexible aerospace parts based on self-reconfigurable swarm intelligent fixture system, *International Journal of Advanced Manufacturing Technology*, Vol. 66, No. 9-12, pp. 1305-1313, 2013.
- [4] H. Teng, S. Sun, W. Ge, W. Zhong, Layout optimization for the dishes installed on a rotating table- the packing problem with equilibrium behavioral constraints, *Science in China (Series A)*, Vol. 37, pp. 1272-1279, 1994.
- [5] J. Cagan, K. Shimada, S. Yin, A survey of computational approaches to three-dimensional layout problems, *Computer Aided Design*, Vol. 34, pp. 129-137, 2000.
- [6] H. Teng, S. Sun, D. Liu, Y. Li, Layout optimization for the objects located within a rotating vessel - a three dimensional packing problem with behavioral constraints, *Computers & Operations Research*, Vol. 28, No. 6, pp. 521-535, 2001.